

## Волноводные свойства открытых планарных связанных нерегулярных композиционных структур

*А.И. Киреева, И.П. Руденко*

*Волгоградский государственный архитектурно-строительный университет*

**Аннотация:** Рассмотрено взаимодействие собственных и несобственных поверхностных волн нерегулярной планарной композиционной системы, состоящей из связанных анизотропно-градиентных плёнок с диэлектрическим покрытием и подложкой. Получена система связанных интегроквазидифференциальных уравнений относительно амплитудных коэффициентов волн дискретного и непрерывного спектра. Найдены их решения, позволяющие оценить влияние параметров и характеристик сложной среды на особенности и условия преобразования волн различной поляризации.

**Ключевые слова:** связанные нерегулярные композиционные системы, анизотропноградиентные структуры, системы связанных интегро-дифференциальных уравнений, поверхностные волны дискретного и непрерывного спектра, параметры градиентности элементов тензора диэлектрической проницаемости.

В настоящее время на основе связанных волноведущих структур проектируется широкий круг интегральнооптических элементов и узлов (лазеры с распределённой обратной связью, свёрхрешётки и т.д.), в котором доминирующим свойством является управление волноведущими режимами структур, входящих в связанную систему [1-3].

Новые достижения и технологии в создании сложных сред усиливают интерес к этой области, как это уже неоднократно происходило и ранее. Весьма актуальным для будущих приложений и теоретических изысканий с точки зрения роста разнообразия физических эффектов является анализ связанных (несвязанных) структур, имеющих одновременно градиентные, анизотропные и нелинейные среды при изменении их границ по вполне определённом закону [4-6]. Здесь ещё остаются не разрешёнными до конца следующие моменты, касающиеся механизма связи мод смешанного волнового спектра системы, в которой, с одной стороны, происходит обмен энергией между модами дискретного и непрерывного спектра каждого из

волноводов, а с другой стороны, процессы взаимодействия и перекачки мод волноводов связанных между собой [4,7-10].

Как правило, анализ таких структур проводится методом связанных волн или численными методами на основе вариационных и проекционных при наличии нерегулярностей одного типа, например, анизотропии материальных характеристик [11,12]. Учёт нескольких типов нерегулярностей, например, композиции анизотропии, градиентности, нелинейности и изменении границ волноведущих структур, в том числе и периодического, многопериодического, почти периодического порождает значительные математические трудности. В первую очередь они связаны с выбором базисов с локальными носителями в специальных конечномерных подпространствах функций или базисов без локальных носителей для лучшей аппроксимации сингулярной части волновых решений поставленной краевой задачи [13-15].

Поэтому представляет интерес изучение пространственно-временных эффектов в таких связанных волноведущих системах указанными методами анализа, включая и отдельно входящих в них нерегулярных композиционных структур и сравнение полученных результатов с регулярными однородными структурами.

Рассмотрим плёночную композиционную систему (рис.1), которая состоит из двух нерегулярных анизотропноградиентных плёнок толщиной, соответственно  $2l_1, 2l_2$ . Они разделены однородной диэлектрической плёнкой или подложкой толщиной  $l_0$ . Внешние бесконечные окружающие слои или покрытие имеют одинаковые материальные характеристики. Покрытие имеет диэлектрическую проницаемость  $\varepsilon_B$ , а подложка характеризуется материальными характеристиками  $\varepsilon_n, \mu_n$ , причём  $\mu_n = \mu_B$ .

Ось  $Ox$  направлена перпендикулярно поверхности слоёв. Распространение волн происходит в направлении оси  $Oz$ . В рассматриваемой геометрии главные оптические оси тензора диэлектрической проницаемости повернуты вокруг оси  $Oy$ , что позволяет разделять электрические и магнитные волны дискретного и непрерывного спектров двух изолированных волноведущих структур.

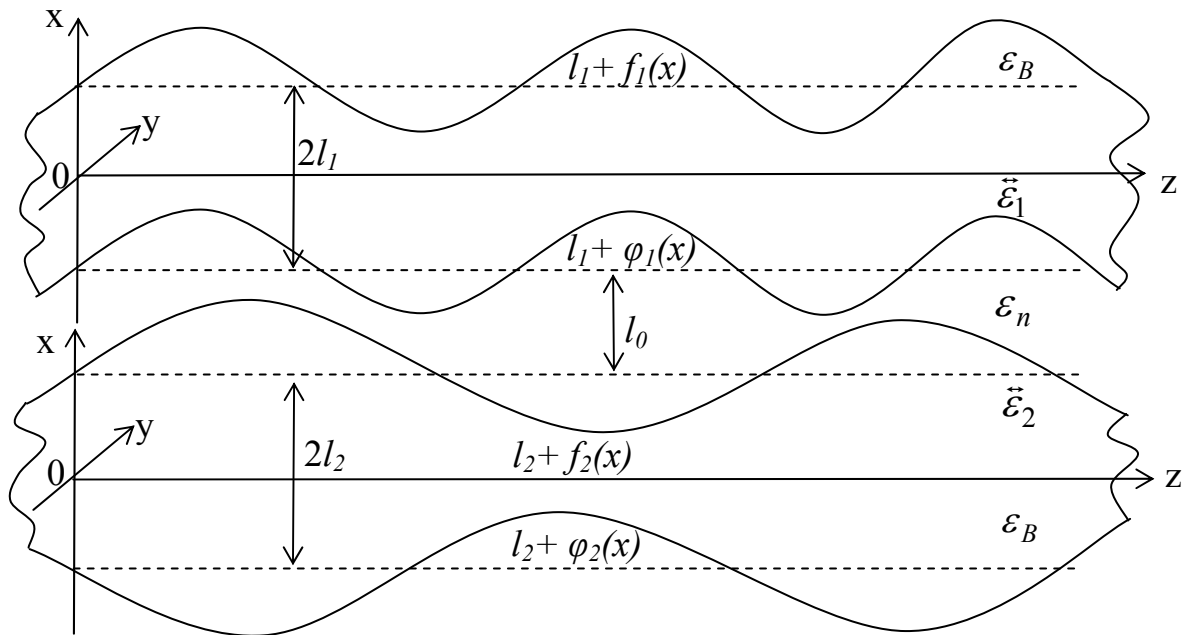


Рис.1. - Геометрия связанных анизотропноградиентных волноведущих структур.

Волноведущие слои имеют тензоры диэлектрической проницаемости вида:

$$\vec{\epsilon}_1 = \begin{bmatrix} \epsilon_{11}(q_0, q_1, \dots, q_n, x) & 0 & \epsilon_{13}(q_0, q_1, \dots, q_n, x) \\ 0 & \epsilon_{22}(q_0, q_1, \dots, q_n, x) & 0 \\ \epsilon_{31}(q_0, q_1, \dots, q_n, x) & 0 & \epsilon_{33}(q_0, q_1, \dots, q_n, x) \end{bmatrix}, \quad (1)$$

$$\vec{\epsilon}_2 = \begin{bmatrix} \tilde{\epsilon}_{11}(g_0, g_1, \dots, g_n, x) & 0 & \tilde{\epsilon}_{13}(g_0, g_1, \dots, g_n, x) \\ 0 & \tilde{\epsilon}_{22}(g_0, g_1, \dots, g_n, x) & 0 \\ \tilde{\epsilon}_{31}(g_0, g_1, \dots, g_n, x) & 0 & \tilde{\epsilon}_{33}(g_0, g_1, \dots, g_n, x) \end{bmatrix}, \quad (2)$$

В которых элементы зависят от поперечной координаты по обобщённым пространственным распределениям. Например

$$\varepsilon_{11}(q_0, q_1, \dots, q_n, x) = \varepsilon_{11,m} (1 - q_0 - q_1 x - q_2 x^2 - q_3 x^3 - q_4 x^4 - q_5 x^5 - q_6 x^6 - \dots), \quad (3)$$

а  $q_0, q_1, \dots, q_n; g_0, g_1, \dots, g_n$  – параметры градиентности среды.

Для анализа волноводных взаимодействий анизотропноградиентных плёнок будут использованы связанные волны, которые ранее в простейших модификациях применялись в волноведущих структурах с однородными материальными характеристиками. Будем считать, что взаимное влияние основных волноведущих слоёв осуществляется через промежуточный слой с диэлектрической проницаемостью  $\varepsilon_n$ . Иными словами учитываем две несимметричные композиционные структуры сравнения. Возмущение в представленной волноведущей системе определяется близостью открытых структур, изменением их границ по определённым законам и композицией градиентности и анизотропии материальной среды. Результирующий профиль диэлектрической проницаемости получаем в виде:

$$\varepsilon_P(x, z) = \varepsilon_n + F_1(q_0, q_1, \dots, q_n, x, z) + F_2(g_0, g_1, \dots, g_n, x, z), \quad (4)$$

а функция возмущения  $F_1(q_0, q_1, \dots, q_n, x, z)$  для  $f_1(z)\{\varphi_1(z)\} > 0$  равна нулю при  $x > l_1 + f_1(z), -l_1 + \varphi_1(z) < x < l_1$  и  $x < -l_1; \pm \delta\tilde{\varepsilon}_1(q_0, q_1, \dots, q_n, x)$ , когда  $l_1 < x < l_1 + f_1(z), -l_1 < x < -l_1 + \varphi_1(z)$ .

Функция возмущения  $F_2(g_0, g_1, \dots, g_n, x, z)$  для  $f_2(z)\{\varphi_2(z)\} < 0$  равна нулю при  $l_2 < x, -l_2 < x < l_2 + f_2(z)$  и  $x < -l_2 + \varphi_2(z); \pm \delta\tilde{\varepsilon}_2(g_0, g_1, \dots, g_n, x)$ , если  $l_2 + f_2(z) < x < l_2, -l_2 + \varphi_2(z) < x < -l_2$ ,

где

$$\delta\tilde{\varepsilon}_1(q_0, q_1, \dots, q_n, x) = \tilde{\varepsilon}_1(q_0, q_1, \dots, q_n, x) - \varepsilon_n,$$

$$\delta\tilde{\varepsilon}_2(g_0, g_1, \dots, g_n, x) = \tilde{\varepsilon}_2(g_0, g_1, \dots, g_n, x) - \varepsilon_n.$$

Получим обобщённые связанные интегроквазидифференциальные уравнения модовых преобразований в волноведущей системе, схематично изображённой на рис. 1. Произвольное распределение электрического и магнитного полей в ней можно представить совокупностью собственных волн смешанного спектра планарных структур сравнения:

$$\begin{aligned} E_y = & \sum_m C_m \cdot E_{y,m}^{(1)}(q_0, q_1, \dots, q_n, \mathfrak{x}_m, x, z) + \\ & + \sum_v D_v \cdot E_{y,v}^{(2)}(g_0, g_1, \dots, g_n, \tilde{\mathfrak{x}}_v, x, z) + \\ & + \sum_0^\infty \int A(\alpha) \cdot E_y^{(1)}(q_0, q_1, \dots, q_n, \alpha, x, z) d\alpha + \\ & + \sum_0^\infty \int B(\rho) \cdot E_y^{(2)}(g_0, g_1, \dots, g_n, \rho, x, z) d\rho, \end{aligned} \quad (5)$$

где знак суммы распространяется на прямые и обратные моды дискретного и непрерывного спектра;  $\alpha, \rho$  – внешние поперечные волновые числа мод непрерывного спектра. Подставим выражение (5) в приведённое волновое уравнение и получим:

$$\begin{aligned} & \sum_m \left[ \frac{\partial^2 C_m}{\partial z^2} - 2j\gamma_m \frac{\partial C_m}{\partial z} + C_m \cdot \omega^2 \mu F_2(g_0, g_1, \dots, g_n, x, z) \right] E_{y,m}^{(1)}(q_0, q_1, \dots, q_n, \mathfrak{x}_m, x) + \\ & + \sum_0^\infty \left[ \frac{\partial^2 A(\alpha)}{\partial z^2} - 2j\gamma(\alpha) \frac{\partial A(\alpha)}{\partial z} + A(\alpha) \cdot \omega^2 \mu F_2(g_0, g_1, \dots, g_n, x, z) \right] \cdot \\ & \cdot E_y^{(1)}(q_0, q_1, \dots, q_n, \alpha, x) d\alpha + \\ & + \sum_v \left[ \frac{\partial^2 D_v}{\partial z^2} - 2j\tilde{\gamma}_v \frac{\partial D_v}{\partial z} + D_v \cdot \omega^2 \mu F_1(q_0, q_1, \dots, q_n, x, z) \right] E_{y,v}^{(2)}(g_0, g_1, \dots, g_n, \tilde{\mathfrak{x}}_v, x) + \\ & + \sum_0^\infty \left[ \frac{\partial^2 B(\rho)}{\partial z^2} - 2j\tilde{\gamma}(\rho) \frac{\partial B(\rho)}{\partial z} + B(\rho) \cdot \omega^2 \mu F_1(q_0, q_1, \dots, q_n, x, z) \right] \cdot \\ & \cdot E_y^{(2)}(g_0, g_1, \dots, g_n, \rho, x) d\rho = 0. \end{aligned} \quad (6)$$

Проинтегрируем уравнения (6) по всему поперечному сечению, используя соотношение ортогональности, и получим:

$$\begin{aligned} & \frac{\partial^2 C_l}{\partial z^2} - 2j\gamma_l \frac{\partial C_l}{\partial z} + \sum_m C_m \Phi_{ml}(q_0, g_0, \dots, q_n, g_n, \mathbf{x}_m, \mathbf{x}_1, z) + \\ & + \sum_0^\infty \int A(q_0, g_0, \dots, q_n, g_n, \mathbf{x}_1, \alpha, z) F_l(q_0, g_0, \dots, q_n, g_n, \mathbf{x}_1, \alpha, z) d\alpha + \\ & + \sum_\nu D_\nu P_{\nu l}(q_0, g_0, \dots, q_n, g_n, \mathbf{x}_1, \tilde{\mathbf{x}}_\nu, z) + \\ & + \sum_0^\infty \int B(\rho) T_l(q_0, g_0, \dots, q_n, g_n, \mathbf{x}_1, \rho, z) d\rho = 0. \\ & \frac{\partial^2 A(\alpha')}{\partial z^2} - 2j\gamma(\alpha') \frac{\partial A(\alpha')}{\partial z} + \sum_m C_m Y(q_0, q_1, \dots, q_n, \mathbf{x}_m, \alpha', z) + \\ & + \sum_0^\infty \int A(\alpha) \Psi(q_0, q_1, \dots, q_n, \alpha, \alpha', z) d\alpha + \\ & + \sum_\nu D_\nu R_\nu(q_0, g_0, \dots, q_n, g_n, \tilde{\mathbf{x}}_\nu, \alpha', z) + \\ & + \sum_0^\infty \int B(\rho) Q(q_0, g_0, \dots, q_n, g_n, \mathbf{x}_1, \alpha', \rho, z) d\rho = 0. \tag{7} \\ & \frac{\partial^2 D_l}{\partial z^2} - 2j\tilde{\gamma}_l \frac{\partial D_l}{\partial z} + \sum_\nu D_\nu O_{\nu l}(g_0, g_1, \dots, g_n, \tilde{\mathbf{x}}_1, \tilde{\mathbf{x}}_\nu, z) + \\ & + \sum_0^\infty \int B(\rho) \overset{\vee}{Q}_l(g_0, g_1, \dots, g_n, \tilde{\mathbf{x}}_1, \rho, z) d\rho + \\ & + \sum_m C_m \Pi_{ml}(q_0, g_0, \dots, q_n, g_n, \mathbf{x}_m, \tilde{\mathbf{x}}_1, z) \\ & + \sum_0^\infty \int A(\alpha) K_l(q_0, g_0, \dots, q_n, g_n, \tilde{\mathbf{x}}_1, \alpha, z) d\alpha = 0. \\ & \frac{\partial^2 B(\rho')}{\partial z^2} - 2j\tilde{\gamma}(\rho') \frac{\partial B(\rho')}{\partial z} + \sum_\nu D_\nu \overset{\vee}{L}_\nu(g_0, g_1, \dots, g_n, \tilde{\mathbf{x}}_\nu, \rho', z) + \\ & + \sum_0^\infty \int B(\rho) M(g_0, g_1, \dots, g_n, \rho, \rho', z) d\rho + \sum_m C_m N(q_0, g_0, \dots, q_n, g_n, \mathbf{x}_m, \rho', z) + \\ & + \sum_0^\infty \int A(\alpha) J(q_0, g_0, \dots, q_n, g_n, \alpha, \rho', z) d\alpha = 0. \end{aligned}$$

Представим в качестве примера некоторые коэффициенты в уравнениях (7):

$$\begin{aligned} \Phi_{ml}(q_0, g_0, \dots, q_n, g_n, \mathfrak{a}_m, \mathfrak{a}_l, z) &= \frac{\gamma_l \omega^2 \varepsilon_n \mu}{2\omega \mu P} \int_{-\infty}^{+\infty} E_{y,l}^{(1)*}(q_0, q_1, \dots, q_n, \mathfrak{a}_l, x) \cdot \\ &\cdot F_2(g_0, g_1, \dots, g_n, x, z) E_{y,m}^{(1)}(q_0, q_1, \dots, q_n, \mathfrak{a}_m, x) dx \\ \sqrt{T_l}(q_0, g_0, \dots, q_n, g_n, \mathfrak{a}_l, \rho, z) &= \frac{\gamma_l \omega^2 \varepsilon_n \mu}{2\omega \mu P} \int_{-\infty}^{+\infty} E_{y,l}^{(1)*}(q_0, q_1, \dots, q_n, \mathfrak{a}_l, x) \cdot \\ &\cdot F_1(q_0, q_1, \dots, q_n, x, z) E_y^{(2)}(g_0, g_1, \dots, g_n, \rho, x) dx \\ Y_m(q_0, q_1, \dots, q_n, \mathfrak{a}_m, \alpha', z) &= \frac{\gamma(\alpha') \omega^2 \varepsilon_n \mu}{2\omega \mu P} \int_{-\infty}^{+\infty} E_y^{(1)*}(q_0, q_1, \dots, q_n, \alpha', x) \cdot \\ &\cdot F_1(q_0, q_1, \dots, q_n, x, z) E_{y,m}^{(1)}(q_0, q_1, \dots, q_n, \mathfrak{a}_m, x) dx \\ Q_l(q_0, g_0, \dots, q_n, g_n, \alpha', \rho, z) &= \frac{\gamma(\alpha') \omega^2 \varepsilon_n \mu}{2\omega \mu P} \int_{-\infty}^{+\infty} E_y^{(1)*}(q_0, q_1, \dots, q_n, \alpha', x) \cdot \\ &\cdot F_2(g_0, g_1, \dots, g_n, x, z) E_y^{(2)}(g_0, g_1, \dots, g_n, \rho, x) dx \\ K_l(q_0, g_0, \dots, q_n, g_n, \tilde{\mathfrak{a}}_l, \alpha, z) &= \frac{\tilde{\gamma}_l \omega^2 \varepsilon_n \mu}{2\omega \mu P} \int_{-\infty}^{+\infty} E_{y,l}^{(2)*}(g_0, g_1, \dots, g_n, \tilde{\mathfrak{a}}_l, x) \cdot \\ &\cdot F_1(q_0, q_1, \dots, q_n, x, z) E_y^{(1)}(q_0, q_1, \dots, q_n, \alpha, x) dx \\ M(g_0, g_1, \dots, g_n, \rho, \rho', z) &= \frac{\tilde{\gamma}(\rho') \omega^2 \varepsilon_n \mu}{2\omega \mu P} \int_{-\infty}^{+\infty} E_y^{(2)*}(g_0, g_1, \dots, g_n, \rho', x) \cdot \\ &\cdot F_2(g_0, g_1, \dots, g_n, x, z) E_y^{(2)}(g_0, g_1, \dots, g_n, \rho, x) dx \end{aligned} \quad (8)$$

Отметим, что в системе уравнений (7) выделены только частные производные по продольной координате  $z$ . Однако, амплитудные коэффициенты разложения полей в этих уравнениях зависят ещё от поперечной координаты  $x$  и параметров градиентности  $q_0, q_1, \dots, q_n, g_0, g_1, \dots, g_n$  через зависимость от них функций поперечного сечения волноводов и возмущённых их взаимным присутствием

диэлектрических проницаемостей. Выпишем несколько решений для коэффициентов разложения полей системы уравнений (7):

$$\begin{aligned} C_l(q_0, g_0, \dots, q_n, g_n, x, z) = & L_1(q_0, g_0, \dots, q_n, g_n, x) + \\ & + L_2(q_0, g_0, \dots, q_n, g_n, x) \cdot \exp(2j\gamma_l z) + \\ & + \frac{j}{2\gamma_l} \left[ \int_0^z \sum_m C_m \Phi_{ml}(q_0, g_0, \dots, q_n, g_n, \mathfrak{a}_m, \mathfrak{a}_1, \xi) d\xi + \right. \\ & + \sum_0^z \int_0^\infty A(\alpha) \overset{\vee}{F}_l(q_0, g_0, \dots, q_n, g_n, \mathfrak{a}_1, \alpha, \xi) d\alpha d\xi + \\ & + \int_0^z \sum_\nu D_\nu P_{\nu l}(q_0, g_0, \dots, q_n, g_n, \tilde{\mathfrak{a}}_\nu, \mathfrak{a}_1, \xi) d\xi + \\ & \left. + \sum_0^z \int_0^\infty B(\rho) T_l(q_0, g_0, \dots, q_n, g_n, \mathfrak{a}_1, \rho, \xi) d\rho d\xi \right] \\ & + \frac{\exp(2j\gamma_l z)}{2j\gamma_l} \left[ \int_0^z \exp(-2j\gamma_l \xi) \sum_m C_m \Phi_{ml}(q_0, g_0, \dots, q_n, g_n, \mathfrak{a}_m, \mathfrak{a}_1, \xi) d\xi + \right. \\ & + \sum_0^z \int_0^\infty \exp(-2j\gamma_l \xi) \int_0^\infty A(\alpha) \overset{\vee}{F}_l(q_0, g_0, \dots, q_n, g_n, \mathfrak{a}_1, \alpha, \xi) d\alpha d\xi + \\ & + \int_0^z \exp(-2j\gamma_l \xi) \sum_\nu D_\nu P_{\nu l}(q_0, g_0, \dots, q_n, g_n, \tilde{\mathfrak{a}}_\nu, \mathfrak{a}_1, \xi) d\xi + \\ & \left. + \sum_0^z \int_0^\infty \exp(-2j\gamma_l \xi) \int_0^\infty B(\rho) T_l(q_0, g_0, \dots, q_n, g_n, \mathfrak{a}_1, \rho, \xi) d\rho d\xi \right]. \end{aligned} \quad (9)$$
$$\begin{aligned} B(q_0, g_0, \dots, q_n, g_n, \rho', x, z) = & \Theta_1(q_0, g_0, \dots, q_n, g_n, x) + \Theta_2(q_0, g_0, \dots, q_n, g_n, x) \times \\ & \times \exp(2j\tilde{\gamma}(\rho')z) + \sum_0^\infty \int_0^z \left[ \frac{j}{2\tilde{\gamma}(\rho')} \left[ \int_0^z \sum_\nu D_\nu \overset{\vee}{L}_\nu(g_0, g_1, \dots, g_n, \tilde{\mathfrak{a}}_\nu, \rho', \xi) d\xi + \right. \right. \\ & + \sum_0^z \int_0^\infty B(\rho) M(g_0, g_1, \dots, g_n, \rho, \rho', \xi) d\rho d\xi + \\ & \left. \left. + \int_0^z \sum_m C_m N_m(q_0, q_1, \dots, q_n, \mathfrak{a}_m, \rho', \xi) d\xi + \right. \right. \end{aligned}$$

$$\begin{aligned} & + \left. \sum_{\alpha} \int_0^z \int_0^{\infty} A(\alpha) J(q_0, g_0, \dots, q_n, g_n, \alpha, \rho', \xi) d\alpha d\xi \right] + \\ & + \frac{\exp(2j\tilde{\gamma}(\rho')z)}{2j\tilde{\gamma}(\rho')} \left[ \int_0^z \exp(-2j\tilde{\gamma}(\rho')\xi) \sum_{\nu} D_{\nu} \check{L}_{\nu}(q_0, g_0, \dots, q_n, g_n, \tilde{\alpha}_{\nu}, \rho', \xi) d\xi + \right. \\ & + \sum_0^z \int_0^{\infty} \exp(-2j\tilde{\gamma}(\rho')\xi) \int_0^{\infty} B(\rho) M(q_0, g_0, \dots, q_n, g_n, \rho, \rho', \xi) d\rho d\xi + \quad (10) \\ & + \int_0^z \exp(-2j\tilde{\gamma}(\rho')\xi) \sum_m C_m N_m(q_0, g_0, \dots, q_n, g_n, \tilde{\alpha}_m, \rho', \xi) d\xi + \\ & \left. + \sum_0^z \int_0^{\infty} \exp(-2j\tilde{\gamma}(\rho')\xi) \int_0^{\infty} A(\alpha) J(q_0, g_0, \dots, q_n, g_n, \alpha, \rho', \xi) d\alpha d\xi \right] d\rho'. \end{aligned}$$

Порождающее уравнение относительно поперечной составляющей магнитного поля собственных ТМ волн смешанного спектра одного из системы невозмущённых изолированных волноводов сравнения имеет вид:

$$\begin{aligned} & \varepsilon_{11}(q_0, q_1, \dots, q_n, x) \cdot \tau(q_0, q_1, \dots, q_n, x) \frac{\partial^2 H_y}{\partial x^2} + \tau(q_0, q_1, \dots, q_n, x) \cdot \\ & \cdot [\varepsilon_{13}(q_0, q_1, \dots, q_n, x) + \varepsilon_{31}(q_0, q_1, \dots, q_n, x)] \frac{\partial^2 H_y}{\partial x \partial z} + \quad (11) \\ & \tau(q_0, q_1, \dots, q_n, x) [\varepsilon_{11}(q_0, q_1, \dots, q_n, x) + \varepsilon_{31}(q_0, q_1, \dots, q_n, x)] \frac{\partial^2 H_y}{\partial x \partial z} + \\ & + \left[ \tau(q_0, q_1, \dots, q_n, x) \frac{d\varepsilon_{11}(q_0, q_1, \dots, q_n, x)}{dx} - \varepsilon_{11}(q_0, q_1, \dots, q_n, x) \frac{d\tau(q_0, q_1, \dots, q_n, x)}{dx} \right] \frac{\partial H_y}{\partial x} + \\ & + \left[ \tau(q_0, q_1, \dots, q_n, x) \frac{d\varepsilon_{31}(q_0, q_1, \dots, q_n, x)}{dx} - \varepsilon_{31}(q_0, q_1, \dots, q_n, x) \frac{d\tau(q_0, q_1, \dots, q_n, x)}{dx} \right] \frac{\partial H_y}{\partial z} + \\ & + \omega^2 \mu \tau^2(q_0, q_1, \dots, q_n, x) H_y = 0. \end{aligned}$$

Отметим, что дисперсионное соотношение несимметричных анизотропно-градиентных структур, которое связывает поперечные внешние и внутренние волновые числа и постоянную распространения с приведёнными поперечными размерами, параметрами градиентности

элементов тензора диэлектрической проницаемости, например, для магнитных волн, удобно записать в виде:

$$\frac{H'_{1,x}(g_0, g_1, \dots, g_n, \mathfrak{a}, 1) + \chi H_1(g_0, g_1, \dots, g_n, \mathfrak{a}, 1)}{H'_{1,x}(g_0, g_1, \dots, g_n, \mathfrak{a}, 1) + \beta H_1(g_0, g_1, \dots, g_n, \mathfrak{a}, 1)} + \frac{H'_{2,x}(g_0, g_1, \dots, g_n, \mathfrak{a}, 1) + \chi H_2(g_0, g_1, \dots, g_n, \mathfrak{a}, 1)}{H'_{2,x}(g_0, g_1, \dots, g_n, \mathfrak{a}, 1) + \beta H_2(g_0, g_1, \dots, g_n, \mathfrak{a}, 1)} = 0, \quad (12)$$

где  $H_1(g_0, g_1, \dots, g_n, \mathfrak{a}, 1)$  и  $H_2(g_0, g_1, \dots, g_n, \mathfrak{a}, 1)$  – специальные функции [8], а связь между волновыми числами трёх слоёв определена соотношениями:

$$\beta^2 = \pi^2 \tilde{x}^2 - \mathfrak{a}^2, \quad \chi^2 = \pi^2 \tilde{x}^2 \bar{\varepsilon} - \mathfrak{a}^2, \quad \bar{\varepsilon} = \left(1 - \overset{\vee}{\varepsilon}_1\right) / \left(1 - \overset{\vee}{\varepsilon}_3\right);$$
$$\overset{\vee}{\varepsilon}_1 = \frac{\varepsilon_1}{\varepsilon_{22,m}}, \quad \overset{\vee}{\varepsilon}_3 = \frac{\varepsilon_3}{\varepsilon_{22,m}}, \quad \chi^2 = \left[ \left(1 - \overset{\vee}{\varepsilon}_1\right) \beta^2 + \mathfrak{a}^2 \left(\overset{\vee}{\varepsilon}_3 - \overset{\vee}{\varepsilon}_1\right) \right] / \left(1 - \overset{\vee}{\varepsilon}_3\right),$$

где  $\tilde{x}$  – приведённый поперечный размер слоёв;  $\chi, \beta$  – поперечные волновые числа однородных диэлектрических слоёв.

Дисперсионное уравнение для электрических волн, а также уравнение Френеля мы здесь не приводим из-за громоздкости.

### Литература

1. Волноводная оптоэлектроника / Т. Тамир, Х. Когельник, У. Бернс [и др.]; под ред. Т. Тамира; пер. с англ. А. П. Горобца [и др.]; под ред. В. И. Аникина. - М.: Мир, 1991. - 574 с.
2. Акопов А.А., Лерер А.М. Сравнение параметров Рамановского усиления в фотонных кристаллах разной конфигурации // Инженерный вестник Дона, 2014, №3 URL: ivdon.ru/ru/magazine/archive/n3y2014/2543.
3. Иващенко С. Н. Моделирование энергетического спектра в полупроводниковых наноструктурах // Инженерный вестник Дона, 2008, № 2 URL: ivdon.ru/magazine/archive/n2y2008/66.



4. Иванов О.В. Распространение электромагнитных волн в анизотропных и бианизотропных структурах. Ульяновск: УлГТУ, 2010. - 262 с.
  5. Заславский Г.М., Мейтлис В.П., Филоненко Н.Н. Взаимодействие волн в неоднородных средах. - М.: Наука, 1986. - 177 с.
  6. Рыбков, В. С. Зависимость собственных электродинамических параметров прямоугольного резонатора, частично заполненного диэлектрическим материалом, от относительной диэлектрической проницаемости образца / В. С. Рыбков, П. В. Замоторин, В. С. Ремнев // Радиотехника и связь : материалы Третьей междунар. науч.-техн. конф., 27-29 июня 2006 г. / СГТУ. - Саратов, 2006. - С. 215-224.
  7. Киреева А.И., Руденок И.П., Филичёва Т.В. Поверхностные волны вдоль слоёв градиентности в периодических композиционных структурах // Физика волновых процессов и радиотехнические системы, 2012. - Т. 15, № 4. - С. 41-47.
  8. Руденок И.П., Филичёва Т.В. О волновых свойствах открытых волоконных композиционных периодических структур // Физика волновых процессов и радиотехнические системы, 2009. - Т. 12. №1. - С. 99-104.
  9. Atkinson R., Lissberger D.H. Correct formulation of first order magneto-optical effects in multilayer thin films in terms of characteristic matrices and derivation of a related superposition principle // J. Magn. and Magn. Mat., 1993. - V. 118. № 1-2. - pp. 271-277.
  10. Евсейкин, А. А. Электродинамические параметры квазистационарных волноводов с частичным диэлектрическим заполнением / А. А. Евсейкин, О. В. Дрогайцева, В. А. Коломейцев // Математические методы в технике и технологиях - ММТТ-24 : сб. тр. XXIV междунар. науч. конф., г. Пенза, 20-22 сент. 2011 г.: в 10 т. - Пенза, 2011. - Т. 10. - С. 90-92.
  11. Depine R.A. Magnetic effect on the reflection of electromagnetic waves at isotropic uniaxial interface // J. Opt. Soc. Am.A, 1994. - V. 11. № 2. - pp. 745-753.
-

12. Gu Claire, Yeh P. Dynamic equation for the polarization state in inhomogeneous anisotropic media // Appl. Opt., 1994. - V. 33, № 1. – pp. 60-63.
13. Боголюбов А.Н., Делицын А.Л. Расчет диэлектрических волноводов методом конечных элементов, исключая появление нефизических решений // Вестн. МГУ: сер. физика, астрономия. 1996. - Т.37, № 1. - С. 9-13.
14. Koshiya M., Maruyama S., Hirayama K. A vector finite element method with the high-order mixed interpolation type triangular elements for optical waveguiding problems // Journal of light wave Technology, 1994. - V. 12. № 3. - pp. 499-502.
15. Юнаковский А.Д. Начала вычислительных методов для физиков. Нижний Новгород: ИПФ РАН, 2007. -220с.

### References

1. Volnovodnaja optoelektronika [The waveguide optoelectronics]. T. Tamir, H. Kogel'nik, U. Berns [i dr.]; pod red. T. Tamira; per. s angl. A. P. Gorobca [i dr.]; pod red. V. I. Anikina. M.: Mir, 1991. 574 p.
2. Akopov A.A., Lerer A.M. Inženernyj vestnik Dona (Rus), 2014, № 3 URL: [ivdon.ru/ru/magazine/archive/n3y2014/2543](http://ivdon.ru/ru/magazine/archive/n3y2014/2543).
3. Ivashhenko S. N. Inženernyj vestnik Dona (Rus), 2008, № 2 URL: [ivdon.ru/magazine/archive/n2y2008/66](http://ivdon.ru/magazine/archive/n2y2008/66).
4. Ivanov O.V. Rasprostranenie jelektromagnitnyh voln v anizotropnyh i bianizotropnyh strukturah [Distribution of electromagnetic waves in anisotropic and bianizotropic structures]. Ul'janovsk: UIGTU, 2010. 262 p.
5. Zaslavskij G.M., Mejtis V.P., Filonenko N.N. Vzaimodejstvie voln v neodnorodnyh sredah [Interaction of waves in non-uniform environments]. M.: Nauka, 1986. 177 p.

6. Rybkov V. S., Zamotorin P. V., Remnev V. S. Radiotekhnika i svjaz': materialy Tret'ej mezhdunarodnoi nauchno-tehnicheskoi konferentsii. Saratov: SGTU, 2006. pp. 215-224.
7. Kireeva A.I., Rudenok I.P., Filichjova T.V. Fizika volnovyh processov i radiotekhnicheskie sistemy, 2012. V. 15, № 4. pp. 41-47.
8. Rudenok I.P., Filichjova T.V. Fizika volnovyh processov i radiotekhnicheskie sistemy, 2009. V. 12. №1. pp. 99-104.
9. Atkinson R., Lissberger D.H. Correct formulation of first order magneto-optical effects in multilayer thin films in terms of characteristic matrices and derivation of a related superposition principle. J. Magn. and Magn. Mat., 1993. V. 118. № 1-2. pp. 271-277.
10. Evsejkin, A. A., Drogajceva O. V., Kolomejcev V. A. Matematicheskie metody v tehnike i tehnologijah: sbornic trudov XXIV mezhdunarodnoi nauchnoi konferentsii. Penza, 2011. V. 10. pp. 90-92.
11. Depine R.A. Magnetic effect on the reflection of electromagnetic waves at isotropic uniaxial interface. J. Opt. Soc. Am.A, 1994. V. 11. № 2. pp. 745-753.
12. Gu Claire, Yeh P. Dynamic equation for the polarization state in inhomogeneous anisotropic media. Appl. Opt., 1994. - V. 33, № 1. pp. 60-63.
13. Bogoljubov A.N., Delicyn A.L. Vestnik MGU: seriya fizika, astronomija, 1996. V.37, № 1. pp. 9-13.
14. Koshiba M., Maruyama S., Hirayama K. A vector finite element method with the high-order mixed interpolation type triangular elements for optical waveguiding problems. Journal of light wave Technology, 1994. V. 12. № 3. pp. 499-502.
15. Junakovskij A.D. Nachala vychislitel'nyh metodov dlja fizikov [Bases of computing methods for physicists]. Nizhnij Novgorod: IPF RAN, 2007. 220 p.